

مجله علوم و صنایع غذایی ایران

سایت مجله: www.fsct.modares.ac.ir



مقاله علمی_پژوهشی

درونپوشانی اسانس بیدمشک (*Salix aegyptiaca L.*) با آلثینات سدیم و پروتئین آب پنیر:

خصوصیات، رهایش کنترل شده و مدل‌سازی ریاضی

محسن زندی^{۱*}، علی گنجلو^۲، ماندانا بی مکر^۲

^۱ استادیار، گروه علوم و مهندسی صنایع غذایی، دانشکده کشاورزی، دانشگاه زنجان، زنجان، ایران.

^۲ دانشیار، گروه علوم و مهندسی صنایع غذایی، دانشکده کشاورزی، دانشگاه زنجان، زنجان، ایران.

چکیده

اطلاعات مقاله

تاریخ های مقاله :

تاریخ دریافت: ۱۴۰۰/۰۵/۲۹

تاریخ پذیرش: ۱۴۰۰/۰۷/۰۶

کلمات کلیدی:

ریزپوشش،

اسانس بیدمشک،

آلثینات سدیم،

رهایش کنترل شده،

مدل‌های سیتیکی.

درونپوشانی اسانس بیدمشک می‌تواند از آندر برابر عوامل محیطی مانند نور، اکسیژن و دما محافظت کند. در پژوهش حاضر، تهیه ریز پوشش آلثینات سدیم-پروتئین آب پنیر حاوی اسانس بیدمشک با روش امولسیون‌سازی-ژلاسیون داخلی با راندمان درونپوشانی برابر ۸۷/۳۱ درصد انجام شد. خصوصیات ریزپوشش‌های حاصل با استفاده از تجزیه و تحلیل اندازه ذرات، پتانسیل زتا و میکروسکوپ الکترونی روبشی مشخص گردید. راندمان درونپوشانی، متورم شدن و رهایش اسانس در شرایط شبیه‌ساز غذاهای چرب و اسیدی مورد بررسی قرار گرفت. در شرایط شبیه‌ساز غذاهای چرب و اسیدی، ریزپوشش دارای بار منفی با پتانسیل زتا به ترتیب ۴۲/۲۵ و ۳۸/۱۱ میلی‌ولت است. بیشترین اثر متقابل الکترواستاتیکی در نزدیکی $pH=3$ رخ داد که در آن بار تقریباً به ختنی نزدیک می‌شود، که نشان دهنده تعادل بین بارهای پلیمر است. ریزپوشش‌ها در شرایط شبیه‌ساز مواد غذایی اسیدی منقبض ($pH=3$) و در شرایط شبیه‌ساز مواد غذایی چرب منبسط شدند ($pH=7$). نتایج انتشار نشان داد که آزاد شدن اسانس بیدمشک از ریزپوشش در هر دو شرایط به صورت کنترل شده با سرعت آهسته رخ می‌دهد. بهترین برازش بر داده‌های رهایش اسانس توسط مدل هایگسون-کروول ($R^2=0.993$) برای شرایط شبیه‌ساز غذای اسیدی و $R^2=0.995$ برای شرایط شبیه‌ساز غذای چرب) انجام گردید که نشان دهنده تغییر قطر ریزپوشش به عنوان تابعی از زمان می‌باشد. مدل‌سازی ریاضی سیتیک رهایش نشان داد که انتشار از ریزپوشش حاوی اسانس بیدمشک از سازوکارهای انتشار فیک و فرسایش / تخریب پیروی می‌کند.

DOI: 10.22034/FSCT.19.125.121

DOR: 20.1001.1.20088787.1401.19.125.6.5

* مسئول مکاتبات:

Zandi@znu.ac.ir

۱- مقدمه

امولسیون‌کنندگی ضعیفی دارد و بنابراین از ترکیبات مخلوط آژینات و سایر بیوپلیمرها برای تنظیم رفتار رهایشی آن و نیز افزایش عملکرد ریزپوشش بر پایه آژینات استفاده شده است[۱۱]. مشخص شده است که پروتئین آب پنیریک ترکیب مناسب برای استفاده به عنوان دیواره پوشش است. پروتئین‌های آب پنیر که به عنوان پروتئین‌های سرم شیرشناخته می‌شوند، محصول جانبی از صنایع لبنی است که به دلیل ارزش غذایی بالا و توانایی ایجاد ژل، تشکیل فیلم، امولسیون‌سازی، اتصال به آب و تشکیل کف به طور گستره‌ای در محصولات غذایی استفاده می‌شود. پروتئین آب پنیر ماده دیواری مناسبی برای درونپوشانی است. توانایی پروتئین‌های آب پنیر در تشکیل ژل و ریزپوشش‌ها بدون استفاده از عملیات حرارتی شدید (ژلاسیون سرد) و هرگونه مواد شیمیایی آنها را به ماده‌ای جذاب برای کاربردهای کنترل شده در سیستم‌های غذایی تبدیل می‌کند [۱۲ و ۱۳، ۸].

روش ژلاسیون سرد یک روش جایگزینشکن ژل است که مبتنی بر افزودن کاتیون‌ها به یک سوسپانسیون پروتئین از قبل گرم شده است. این روش به یک مرحله گرم شدن نیاز دارد که طی آن پروتئین‌های آب پنیر دناتوره و از حالت طبیعی خارج می‌شوند و ساختار آن باز می‌گردد که در ادامه سرد کردن محلول و افزودن یون‌های کلسیم منجر به تشکیل شبکه از طریق فعل و انفعالات با کلسیم سبب ایجاد توده‌های محلول پلیمری می‌شود. از تکنیک امولسیون‌سازی ژلاسیون داخلی‌تری توان برای تولید ریزپوشش استفاده شود [۱۴ و ۱۳، ۸].

بیدمشک از خانواده سالیانسه^۱ و از راسته مالفی-چیالس^۲ است که شامل حدود ۵۵ جنس و بیش از ۱۰۰۰ گونه است. گونه‌های تیره سالیکس درختان برگ‌ریز و درختچه‌هایی با برگ‌های ساده و منقوش است که به طور متناوب روی ساقه‌های چوبی قرار گرفته‌اند. گونه‌های بیدمشک احتمالاً از خاورمیانه خصوصاً مصر، ترکیه، ایران، عراق، ارمنستان، ترکمنستان و افغانستان سرچشمه می‌گیرند[۱۵]. بیدمشک یک درختچه برگ‌ریز با شاخه‌های ضخیم به رنگ قرمز مایل به ارغوانی است که ارتفاع آن به ۴ تا ۵ متر می‌رسد و گل آذین آن دم‌گربه‌ای معطر و خاکستری‌می‌باشد. از

اسانس، مایعات فرار معطر طبیعی هستند که از قسمت‌های مختلف گیاهان مانند گل‌ها، جوانه‌ها، دانه‌ها، برگ‌ها، ساقه‌ها و پوست استخراج می‌شوند. ترکیب و خصوصیات فیزیکی و شیمیایی انسان‌ها تحت تأثیر نوع گیاه، بخشی از گیاه که انسان‌گیری انجام می‌شود، منشا جغرافیایی، زمان برداشت، مرحله رشد، سن گیاهان و روش استخراج قرار دارد[۱]. این اجزاء فرار به راحتی در معرض نور و تحت تأثیر گرما تجزیه می‌شوند و درونپوشانی آنها با هدف محافظت از خصوصیات عملکردی و همچنین تعديل انتشار صورت می‌گیرد [۲]. درونپوشانی فرآیندی است که در آن ماده زیست‌فعال (جامد، مایع یا گاز) در داخل ماده دیگر (ماده دیواری) محصور می‌شود تا از آن در برابر شرایط نامساعد محیطی محافظت شود؛ در نتیجه ماندگاری و انتشار کنترل شده ماده زیست‌فعال در ریزپوشش افزایش می‌یابد [۳ و ۱]. ریزپوشش‌ها ذرات میکروسکوپی کروی با اندازه در حد نانومتر تا میکرومتر هستند کهaz یک هسته و دیواره تشکیل شده است. روش‌های مختلفی شامل امولسیون‌سازی-تبخیر حلال (کاربرد آزمایشگاهی)، خشک‌کن پاششی، امولسیون‌سازی-انتشار حلال، اتصال عرضی امولسیون، ژلاسیون داخلی، کواسرواسیون (هم‌انباست) و غیره برای تهیه ریزپوشش‌ها وجود دارد[۲ و ۶].

اخيراً تحقیقات مختلفی برای محصورسازی انسان و ایجاد ریزپوشش‌ها انجام پذیرفته است. آژینات سدیماز بین بیوپلیمرهای بی‌شماری که برای تهیه ریزپوشش‌ها استفاده می‌شود، به دلیل سازگاری زیستی، غیرسمی بودن، پایداری شیمیایی، حساسیت به pH، ظرفیت ایجاد ژل قوی در آب و گازها و عملکرد بیولوژیکی بسیار مورد توجه است. آژیناتیک پلی‌ساقارید طبیعی است که از مخلوط اسیدهای پلی‌اورونیک (متیکل از دی‌مانورونیک اسید و ال-گلورونیک اسید) تشکیل می‌شود و توانایی ایجاد ژل‌ها را با تعامل با کاتیون‌های دو ظرفیتی (مثل کلرید کلسیم) دارد. این بیوپلیمر به طور گستره و با موفقیت در درونپوشانی مولکول‌های زیست‌فعال از جمله داروها، ویتامین‌ها، عطر و طعم و انسان مورد استفاده قرار گرفته است(۵، ۷-۱۰). با این حال، آژینات ظرفیت

1. Pussy willow

2. Salicaceae

3. Malpighiales

گرفت. کنسانتره پروتئین آب پنیر تجاری (۸۰ درصد) نیز از شرکت بهتام پودر (ایران)، اسید کلریدریک و اتانول هم از شرکت دکتر مجللی (ایران) تهیه گردید. سایر مواد شیمیایی نیز دارای درجه ازمایشگاهی بودندکه از شرکت سیگما آلدریچ (آلمان) خریداری گردید. گل آذین دم گربه‌ای^۱ بیدمشک (*Salix* L.) نیز در فصل بهار از باغات شهرستان ارومیه (استان آذربایجان غربی) برداشت گردید و پس از خشک نمودن در شرایط سایه‌خشک تا زمان مصرف در شرایط تاریک و در دمای زیر ۱۵ درجه سلسیوس نگهداری گردید.

۲-۲- استخراج اسانس

برای تهیه اسانس مورد نیاز از روش تقطیر آبی استفاده گردید. بدین منظور گل آذین تازه بیدمشک به همراه آب مقطر به نسبت ۱ به ۵ در محفظه سیستم تقطیر آبی و در دمای جوش به مدت ۱۸۰ دقیقه قرار گرفت تا اسانس آن استخراج گردد. اسانس استخراج شده با کمک سولفات سدیم بی‌آب، آبزدایی گردید. برای جلوگیری از ایجاد کف مقدار ۰/۰۲ درصد (۰/۳ گرم) عامل ضد کف نیز به مخلوط اضافه گردید.

۲-۳- درونپوشانی اسانس بیدمشک

برای درونپوشانی اسانس بیدمشک از ریزپوشش‌های آژینات سدیم-پروتئین آب پنیر استفاده گردید، که این ریزپوشش‌ها با روش امولسیون‌سازی-ژلاسیون داخلی ارائه شده توسط زندی و همکاران [۸] با اصلاحات تهیه گردید. برای این منظور ابتدا محلول آژینات سدیم ۲ درصد (وزنی/حجمی) و پروتئین آب پنیر ۸ درصد (وزنی/حجمی) آماده گردید؛ برای تهیه محلول آب پنیر، حرارت‌دهی در دمای ۸۰ درجه سلسیوس برای دناتوره شدن پروتئین صورت پذیرفت و پس از آب‌گیری هر دو محلول برای مدت یک شب، محلول آژینات سدیم و پروتئین آب پنیر به نسبت ۱ به ۲ با یکدیگر مخلوط شدند. سپس اسانس بیدمشک به محلول نهایی آژینات سدیم-پروتئین آب‌پنیر با نسبت وزن ۱/۱۰ اضافه شد و با استفاده از هموژنايزر دوربالا-(MTOPS- SR30-کره جنوبی) با سرعت ۱۲۰۰۰ دور در دقیقه و به مدت ۳ دقیقه امولسیون ایجاد گردید. امولسیون حاصل از طریق سرنگ به آرامی به محلول کلرید کلسیم (۰/۱ مول در لیتر) اضافه گردید.

اسانس و عرقگل آذین نر گیاه مدت هاست که در طب عامیانه ایران به عنوان تقویت‌کننده قلب، درمان کم‌خونی و سرگیجه و همچنین افزودنی معطر در نوشیدنی‌ها استفاده می‌شود[۱۵ و ۱۶]. از جوشانده برگ یا پوست آن نیز برای دردهای روماتیسمی و به عنوان ضد عفونی کننده و داروی ضدکرم (کرم روده) استفاده می‌شود. علاوه بر این، از بیدمشک به عنوان ملین، آرام‌بخش، خواب‌آور، مسکن و محافظت گوارشی استفاده می‌گردد [۱۷ و ۱۸]. خانواده سالیکس به دلیل داشتن اسید سالیسیلیک و اسید استیل سالیسیلیک اثرات ضدالتهابی داردند. خواص ضدالتهابی و ضد دردی عصاره‌های خانواده سالیکس ممکن است به مواد شیمیایی آن از جمله سالیسین^۲، میریستین^۳، کامفروول^۴، کوئرستین^۵، روتین^۶ و لوئولین^۷ مربوط باشد. محتوای قابل توجهی میریستین، روتین و کاتچین در بیدمشک می‌تواند به عملکرد ضدالتهابی آن کمک کند. اسانس بیدمشک تبابر است و به اثر آرام‌بخشی بر قلب و اثر ضد فشار خون در بین مردم ایران مشهور است [۱۵، ۱۶ و ۱۷]. هدف از پژوهش حاضر درونپوشانی اسانس بیدمشک در پوشش آژینات سدیم-پروتئین آب پنیر و ارزیابی خصوصیات فیزیکی، مکانیکی و رهایش از آن می‌باشد. در این مطالعه مشخصات انتشار اسانس محصور شده در ریزپوشش طی نگهداری در محیط شیشه‌سازی شده غذایی (چرب و اسیدی) با روش اسپکتروفوتومتری اندازه‌گیری شد و مدل‌های سیستیکی بر داده‌های تجربی انتشار برآش شدند.

۲- مواد و روش‌ها

۲-۱- مواد گیاهی و شیمیایی

در این پژوهش، کلرید کلسیم (سیگما آلدریچ، آلمان، درجه خلوص بالاتر از ۹۳ درصد)، کلرید سدیم (فلوکا، سوئیس، درجه خلوص ۹۹/۵ درصد)، توئین ۸۰ (سمچون، کره جنوبی)، آژینات سدیم (سیگما آلدریچ، آلمان) و آب دیونیز با مقاومت ۱۸/۲ مگا اهم در سانتی‌متر (سیگما آلدریچ، آلمان) مورد استفاده قرار

4. Salicin

5. Myricetin

6. Kaempferol

7. Quercetin

8. Rutin

9. Luteolin

ریزپوشش مدل ZEN3600 (انگلستان Malvern) به عنوان میانگین سه قرائت گزارش شدند [۷].

۲-۷-۲-آزمون متورم شدن

مطالعات متورم شدن با استفاده از ریزپوشش‌های مرطوب (بالاصله پس از آماده سازی) انجام شد. هیدروژلهای مرطوب آلرژینات سدیم-پروتئین آب پنیر همانند مطالعات رهایش در شرایط مختلف (شبیه‌ساز غذای چرب و اسیدی) قرار گرفت و پس از ۱ ساعت، ریزپوشش‌ها با استفاده از صافی از جنساستیل ضد زنگ از محیط جدا شد و جرم آنها اندازه‌گیری شد. تغییر وزن ریزپوشش‌ها بر حسب درصد با استفاده از رابطه ۲ محاسبه شد [۱۱]:

$$(رابطه ۲)$$

$$\frac{100 \times \text{جرم اولیه} - \text{جرم نهایی}}{\text{جرم اولیه}} = \text{تغییرات جرم} \%$$

۲-۸-رهایش اسانس

رهایش اسانس بیدمشک از ریزپوشش‌های آلرژینات سدیم-پروتئین آب پنیر به موادغذایی با استفاده از دوشبیه‌ساز غذایی شامل شبیه‌ساز مواد غذایی اسیدی توسط اسید استیک ۳ درصد (حجمی/حجمی، شبیه‌ساز مواد غذایی اسیدی) و شبیه‌ساز مواد غذایی چرب متوسط تا زیاد توسط اتانول ۸۵ درصد (حجمی/حجمی) صورت گرفت. ریزپوشش‌های مرطوب‌آلرژینات سدیم-پروتئین آب پنیر حاوی اسانس بیدمشک (۳ گرم) در ویال شیشه‌ای حاوی ۵۰ میلی‌لیتر شبیه‌ساز قرار داده شد و به صورت دوره‌ای و در فواصل زمانی مشخص با استفاده از سرنگ مقدار ۱ میلی‌لیتر از محلول برداشته شد و از فیلترسرنگی ۰/۲۲ میکرون عبور داده شد و میزان جذب آن توسط دستگاه طیف‌سنج ماورا بنفش-نور مرئی (Specord 250, Jena, Germany) در طول موج برابر ۲۷۸ نانومتر بدست آمد. منحنی استاندارد با استفاده از جذب غلظت‌های مختلف مشخص از اسانس بیدمشک در اتانول ۸۵ درصد و اسید استیک ۳ درصد در طول موج برابر ۲۷۸ نانومتر تهیه شد. پس از هر اندازه‌گیری، محلول‌های نمونه‌گیری شده دوباره به محلول‌های نمونه اولیه اضافه شدند. آزمایش‌های انتشار در هر تیمار برای تأیید قابلیت تکرار پذیری در چهار ویال شبیه‌ای مختلف انجام گردید.

تا ریزپوشش‌های آلرژینات-پروتئین حاوی اسانس بیدمشک شکل گیرد. ریزپوشش‌ها به مدت ۱۵ دقیقه در محلول کلرید کلسیم باقی ماندند تا سفت شوند؛ در نهایت ریزپوشش‌ها پس از جداسازی توسط قیف دکانتور و شسشو با محلول کلرید کلسیم ۰/۰۵ مولار، با استفاده از فیلتر ۶۵/۰ نیتروسلولزی فیلتر شدند. ریزپوشش‌های حاصل توزین و به نسبت ۱ به ۹ در آب دیونیزه پخش شدند.

۲-۴-راندمان درونپوشانی

به منظور ارزیابی راندمان درونپوشانی، رهایش اسانس بیدمشک Specord ۲۵۰، Jena, Germany تعیین شد. ۱ میلی‌لیتر از ریزپوشش در ۹ میلی‌لیتر هگزان پراکنده شد و پس از اعمال ۵ دقیقه فراصوت (شرایط شدید)، نمونه فیلتر شد و در نهایت میزان جذب نمونه‌ها در طول موج برابر ۲۷۸ نانومتر اندازه‌گیری گردید. راندمان درونپوشانی (%) با کمک وزن اولیه اسانس مورد استفاده (M₀) و اسانس درونپوشانی شده (M) مطابق رابطه ۱ محاسبه گردید [۵]:

$$(رابطه ۱)$$

$$\%EE = M / M_0 \times 100$$

۲-۵-مورفولوژی ریزپوشش‌ها

برای حصول اطمینان از تشکیل ریزپوشش‌ها، بررسی مورفولوژی آنها و نیز تعیین ضخامت پوسته از میکروسکوپ الکترونی رویشی (Leo1450VP) استفاده گردید؛ برای این منظور، پس از خشک‌کردن ریزپوشش‌ها به مدت یک شب در معرض هوا، پودر حاصل روی صفحه دستگاه میکروسکوپ الکترونی رویشی ثبت گردید؛ قبل از قرارگیری نمونه در این سیستم، آماده‌سازی نمونه شامل پوشش‌دهی ریزپوشش‌ها توسط یک لایه نازک پلاتین (۰/۴ میلی‌آمپر، ۶۰ ثانیه، ۳-۱۰ میلی‌بار و در محیط آرگون) صورت پذیرفت و نمونه پوشش‌دار به داخل دستگاه میکروسکوپ الکترونی رویشی که ولتاژ شتاب‌دهی الکترون‌ها در آن ۱۵ کیلوولت بود منتقل و تصویر مورد نظر گرفته شد [۸].

۲-۶-اندازه و پایداری ریزپوشش‌ها

اندازه‌گیری میانگین قطر هیدرودینامیکی و پایداری ریزپوشش‌ها با استفاده از دستگاه تجزیه و تحلیل اندازه و پتانسیل زتا

اندازه‌گیری شده توسط فرایند انحلال (اغلب برابر صفر می‌باشد)، β برابر توصیف‌کننده شکل پیشرفت منحنی انحلال، a برابر مقیاس زمانی فرایند، k_{HC} برابر ثابت رهایش هایگسون-کروول، W_t و W_0 بهترین‌برابر مقدار اولیه انسانس در ریزپوشش (مقدار باقیمانده انسانس در زمان صفر) و مقدار باقی مانده انسانس در ریزپوشش در زمان t می‌باشند. بهمنظور ارزیابی عملکرد مدل در برآورد از ضریب تبیین^{۱۹} (R^2) بین مقدار واقعی با مقدار پیش‌بینی شده‌هو ریشه میانگین مربعات خطأ^{۲۰} (RMSE) برای یافتن بهترین مدل استفاده گردید:

(رابطه ۱۰)

$$R^2 = 1 - \left(\frac{\sum_{i=1}^n (O - P)^2}{\sum_{i=1}^n (O - \bar{P})^2} \right)$$
(رابطه ۱۱)

$$RMSE = \sqrt{\frac{(O - P)^2}{n - p}}$$

که O ، P و n بهتریب داده تجربی، داده پیش‌بینی شده، تعداد مشاهده و تعداد پارامترهای مدل است.

۱۰-۲-تجزیه و تحلیل آماری

برای تجزیه و تحلیل آماری داده‌ها از طرح کاملاً تصادفی استفاده گردید و داده‌ها تحت تجزیه و تحلیل واریانس (ANOVA) قرار گرفتند؛ از آزمون چند دامنه‌ای دانکن برای مقایسه تفاوت بین میانگین‌ها در سطح معنی‌داری ۵ درصدی استفاده شد. کلیه آزمون‌ها حداقل در سه تکرار انجام شد، سپس میانگین و انحراف معیار آنها به دست آمد. تمام مراحل تجزیه و تحلیل آماری داده‌ها، با استفاده از نرم‌افزار آماری SPSS (نسخه ۲۴، آمریکا) صورت پذیرفت.

۳-نتایج و بحث

۳-۱-خصوصیات ریزپوشش‌ها

برخی از خصوصیات ریزپوشش آژینات سدیم-پروتین آب پنیر حاوی انسانس بیدمشک تولیدی در جدول ۱ نشان داده شده است. همان‌طور که مشاهده می‌شود، کارایی‌درون‌پوشانی برابر

19. Adjusted R-squared

20. Root mean squared error

۲-۹-پیش‌بینی سیتیک و سرعت رهایش

سازوکار رهایش انسانس بیدمشک بهصورت کترل‌شده‌از ریزپوشش‌های آژینات سدیم-پروتین آب پنیر (چه بهصورت انتشار و چه بهصورت تحrib)، از طریق مدل‌های سیتیکی مختلف مورد بررسی قرار گرفت. برای این منظور از مدل درجه صفر^{۲۱} (رابطه ۳)، مدل درجه یک^{۲۲} (رابطه ۴)، مدل کوپچا^{۲۳} (رابطه ۵)، مدل کورسمیر-پیاس^{۲۴} یا رایتر-پیاس^{۲۵} (رابطه ۶)، مدل هیگوچی^{۲۶} (رابطه ۷)، مدل ویمال^{۲۷} (رابطه ۸) و مدل هایگسون-کروول^{۲۸} (رابطه ۹) برای برآش داده‌های انتشار تجربی انسانس بیدمشک استفاده گردید:

(رابطه ۳)

$$M_t = M_0 + k_0 \times t$$

$$\log M_t = \log M_0 + \frac{(k_1 \times t)}{2.303}$$
(رابطه ۴)

$$M_t = A \times t^{0.5} + B \times t$$
(رابطه ۵)

$$\frac{M_t}{M_\infty} = k_{KP} \times t^n$$
(رابطه ۶)

$$M_t = k_H \times t^{0.5}$$
(رابطه ۷)

$$\frac{M_t}{M_\infty} = 1 - e^{\frac{-(t-T_i)}{\alpha}^\beta}$$
(رابطه ۸)

$$W_0^{1/2} - W_t^{1/2} = k_{HC} \times t$$
(رابطه ۹)

که M_t برابر مقدار انسانس آزاد شده در زمان t ، M_0 برابر انسانس آزاد شده در زمان صفر، M_∞ برابر نسبت انسانس آزاد شده در زمان t برابر ثابت رهایش درجه صفر، k_1 برابر ثابت رهایش درجه یک، A و B برابر ثابت‌های رهایش کوپچا، k_{KP} برابر ثابت رهایش کورسمیر-پیاس، n برابر نما رهایش کورسمیر-پیاس (خصوصیت نمایی انتشار مکانیسم رهایش)، k_H برابر ثابت رهایش هیگوچی، T_i برابر زمان تاخیر

11. Zero-order

12. First-order

13. Kopcha

14. Korsmeyer-Peppas

15. Ritger-Peppas

16. Higuchi

17. Weibull function

18. Hixson-crowell

محلول‌ها، اندازه ذرات بزرگتر و توزیع آن نیز بیشتر می‌گردد [۱۳۸]. البته کاهش بیش از حد ویسکوژیته نیز سبب کاهش راندمان درونپوشانی می‌گردد [۱۳]. همان‌طور که در جدول ۱ مشاهده می‌گردد، متورم شدن ریزپوشش در دو شرایط شبیه‌ساز غذای اسیدی و غذای چرب بررسی شده است. ریزپوشش حاوی انسان بیدمشک در محیط اسیدی دچار چروکیدگی و انقباض و در محیط خنثی تا قلیایی دچار تورم و انبساط گردیده است؛ چروکیدگی ریزپوشش‌های آژینات احتمالاً به‌سبب از دست دادن بار منفی گروه کربوکسیل آژینات در محیط اسیدی و افزایش درجه پروتوندار شدن آنها و در نتیجه کاهش نیروهای دافعه است؛ این در حالی است که در محیط خنثی و قلیایی تورم ریزپوشش‌ها عمدتاً به‌علت افزایش بارهای منفی است که سبب دافعه الکترواستاتیک می‌گردد؛ زیرا pH خنثی و قلیایی بسیار بالاتر از مقدار pKa (تقريباً برابر ۳/۵) اورونیک اسید مولکول آژینات است [۲۷، ۲۸].

تصویر میکروسکوپ الکترونی روبشی ریزپوشش آژینات سدیم-پروتئین آب پنیر حاوی انسان بیدمشک در شکل ۱ نشان داده شده است. همان‌طور که مشاهده می‌شود، ریزپوشش کاملاً گرد با سطحی صاف است که دارای منافذ اندکی در سطح خود می‌باشد. این سطح صاف به‌سبب اتصالات عرضی بین آژینات سدیم-پروتئین آب پنیر از طریق گروههای کربوکسیل تشکیل شده است [۱۳۸]. پروتئین آب پنیر به‌عنوان یک پلیمر آمفی‌فیل (دوخلصلتی)، مسئول شکل کروی ریزپوشش می‌باشد؛ زنجیرهای جانبی آب‌گریز و آب‌دوست پروتئین آب پنیر برای به حداقل رساندن آنتروپی سیستم به ترتیب در هسته و محلول قرار می‌گیرند و یون‌های کلسیم آزاد شده در محیط باعث تثبیت این شبکه و تشکیل گرانول‌های داخلی از طریق اتصالات عرضی کربوکسیل می‌گردد و آژینات نیز به همان روش یک شبکه پلیمری خارجی را تشکیل می‌دهد [۱۳۸].

پتانسیل زتا ریزپوشش‌ها به‌عنوان تابعی از pH در شکل ۲ نشان داده شده است. پتانسیل زتا که نشان‌دهنده میزان پتانسیل سطحی ریزپوشش است، عمدتاً تابعی از pH و قدرت یونی دیسپرسیون می‌باشد و میزان پایداری ریزپوشش را تعیین می‌کند [۲۹].

۸۷/۳۱ درصد به‌دست آمد که نشان از عملکرد مناسب فرایند درونپوشانی است؛ عوامل زیادی مانند اندازه ذرات تشکیل دهنده ریزپوشش، اندازه ریزپوشش و نوع و ماهیت ماده درونپوشانی شده (مواد دیواره) بر راندمان درونپوشانی موثر می‌باشند [۳]. از این‌رو نوع، فرآوری و غلظت انسانس مورد استفاده در تعیین راندمان نهایی درونپوشانی مهم می‌باشد. اتفاق حدود ۱۳ درصدی انسانس عمدتاً به‌سبب فرآوری آن (وزن مولکولی کم) است که بخشی هم در مرحله شستشوی ریزپوشش اتفاق می‌افتد [۸]. برخی از محققان گزارش دادند که انسانس‌های به‌سبب دارا بودن ترکیبات آب‌دوست که توانایی عمل به‌عنوان عوامل فعال سطحی دارند، در مقایسه با روغن‌های گیاهی و معدنی پایداری و کارایی درونپوشانی بیشتری دارند. از سوی دیگر معمولاً انسانس‌ها در غلظت‌های کم (به سبب خواص، ارزش و قیمت) درونپوشانی می‌شوند و در نتیجه ریزپوشش‌ها حاوی ماده کمتری در مرکز آن‌هستند و مواد دیواره فراوانی در دسترس می‌باشد [۳ و ۲۵]. گزارش شده است که غلظت انسانس بین ۳ تا ۱۰ درصد سبب افزایش راندمان درونپوشانی می‌گردد و غلظت‌های خارج از این محدوده نیز سبب کاهش این متغیر می‌گردد [۲۶]. از آنجائی که در پژوهش حاضر غلظت انسانس ۱۰ درصد در نظر گرفته شد؛ راندمان درونپوشانی نیز مورد انتظار بود. نتایج مشابهی از راندمان درونپوشانی توسط ریزپوشش‌های آژینات سدیم-پروتئین آب پنیر حاوی مواد فعال توسط سایر محققان گزارش شده است [۱۳ و ۱۰-۸، ۵].

Table 1 Sodium alginate-whey protein microcapsule containing musk willow essential oil characterize

87.31±3.21	Encapsulation efficiency (%)
10.65±0.95	Particle size (µm)
-11.40±5.24	Swelling- acidic food simulator (%)
385.47±21.09	Swelling- fatty food simulator (%)

میانگین قطر هیدرودینامیکی ریزپوشش‌ها از طریق تجزیه و تحلیل اندازه ذرات برابر ۱۰/۶۵±۰/۹۵ میکرومتر (جدول ۱) اندازه گیری گردید. از آنجائی که اندازه ریزپوشش‌ها از طریق رابطه بین کشش سطحی و نیروهای مشخص فاز ناپیوسته تعیین می‌گردد [۸]، غلظت محلول آژینات و پروتئین آب پنیر نقش مهمی در اندازه ریزپوشش‌ها و توزیع آن دارد؛ با افزایش غلظت این

سدیم-پروتئین آب پنیر در دو محیط شبیه‌ساز غذای اسیدی و شبیه‌ساز غذای چرب در شکل ۳ نشان داده شده است. در این شکل داده‌های مربوط به رهایش تجربی (نقاط) در دو شرایط مختلف به همراه داده‌های رهایش پیش‌بینی توسط مدل هایگسون-کروول (به عنوان بهترین مدل توصیف کننده- توضیحات در بخش سیستیک رهایش) ترسیم گردیده است. نتایج نشان داد که رهایش اسانس بیدمشک از ریزپوشش به صورت کنترل شده رخ می‌دهد که با سرعت پائینی اتفاق می‌افتد. این پدیده را شاید بتوان به سبب لایه ژل مانند حاصل از بیopolymer که دارای وزن مولکولی بالایی است، نسبت داد؛ این لایه به عنوان مانع عمل می‌نماید و رهایش اسانس را به تاخیر می‌اندازد. هرچه وزن مولکولی بیopolymer بالاتر باشد، میزان نفوذپذیری آن کاهش پیدا می‌نماید و رهایش با سرعت کمتری اتفاق می‌افتد [۶، ۲۰]. پروتئین آب پنیر دارای نقش دوگانه در تغییر سرعت رهایش است؛ از یک طرف پروتئین آب پنیر سبب تورم و باز شدن بیشتر ساختار ریزپوشش و در نتیجه افزایش سرعت انتشار می‌گردد و از سوی دیگر اثرات متقابل پروتئین با اسانس آب‌گریز سبب محدودیت در سرعت انتشار می‌شود [۱۱].

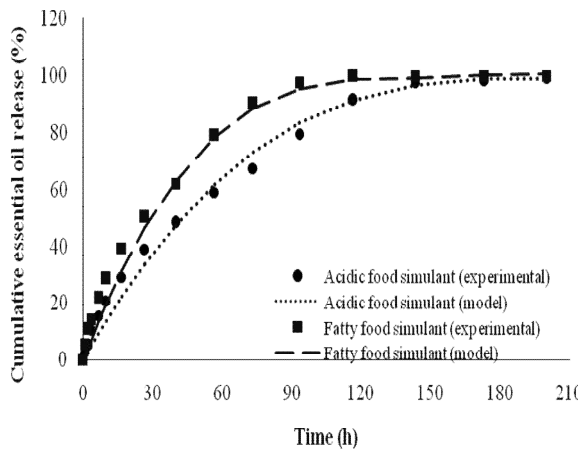


Fig 3 Release profile of musk willow essential oil from sodium alginate-whey protein microcapsule in simulated acidic and fatty food conditions.

همان‌طور که در شکل مشاهده می‌گردد، ۱۰ ساعت اول رهایش از ریزپوشش‌ها در هر دو شرایط، انتشار با سرعت اولیه بسیار بالایی رخ می‌دهد؛ به طوری که حدود ۲۰ و ۲۹ درصد از اسانس بیدمشک به ترتیب در شرایط شبیه‌ساز غذای اسیدی و شبیه‌ساز غذای چرب از ریزپوشش انتشار می‌یابد. این رهایش ناگهانی

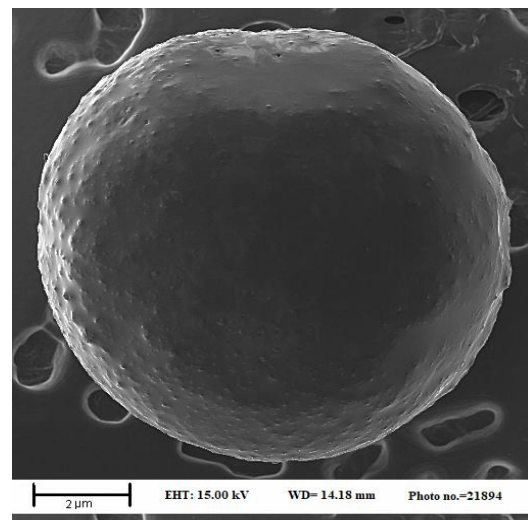


Fig. 1: SEM micrograph of sodium alginate-whey protein microcapsule containing musk willow essential oil.

مقدار پتاسیل زتا در هر دو pH شبیه‌ساز غذایی اسیدی و چرب از قدر مطلق ۳۰ بیشتر است که نشان از پایداری کامل ریزپوشش دارد. با این حال با افزایش pH، مقدار قدر مطلق پتاسیل زتا به طور معنی‌داری کاهش می‌یابد ($p < 0.05$).

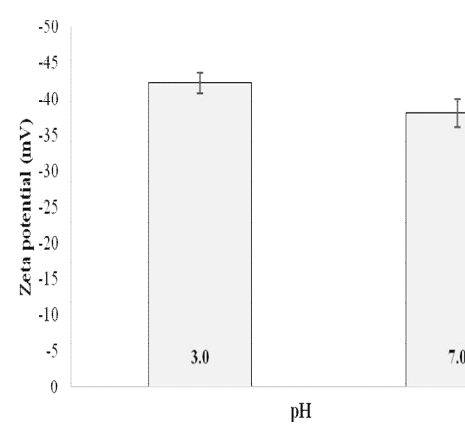


Fig 2 Influence of pH on zeta potential of sodium alginate-whey protein microcapsule containing musk willow essential oil.

۲-۳-رهایش اسانس

در این پژوهش از روش طیف‌سنجی در محدوده امواج فرابنفش برای تعیین مقدار کمی اسانس بیدمشک رهایش شده در طول موج ۲۷۸ نانومتر استفاده گردید و رهایش در مدت ۲۰۰ ساعت در شرایط مختلف بررسی گردید. نمایه انتشار اسانس بیدمشک با کمک درصد تجمعی اسانس بیدمشک در زمان ایجاد گردید. این نمایه برای رهایش اسانس بیدمشک از ریزپوشش آثربنایت

ماده فعال به صورت مداوم و خطی اتفاق می‌افتد؛ از آنجایی که نتایج تجربی روند غیرخطی را در رهایش اسانس بیدمشک از ریزپوشش را نشان می‌دهد؛ از این‌رو مدل ریاضی درجه صفر قادر به مدل‌سازی رهایش اسانس بیدمشک نمی‌باشد.

Table 2 Kinetic parameters and statistical values of various mathematical models.

Release condition	Parameter
Fatty	Acidic
Zero-order model	
0.1897	0.1739
0.778	0.893
0.311	0.223
	RMSE
First-order model	
0.0194	0.0123
0.993	0.991
0.048	0.052
	RMSE
Kopcha model	
2.82	2.53
0.0001	0.0001
0.938	0.986
0.176	0.078
	RMSE
Korsmeyer- Peppas model	
0.1139	0.0617
0.4559	0.5057
0.956	0.986
0.121	0.081
	RMSE
Higuchi model	
2.821388	2.53
0.938	0.986
0.178	0.077
	RMSE
Weibull function	
39.10	62.25
0.932	0.94
0.993	0.991
0.051	0.058
	RMSE
Hixson-Crowell model	
0.0162	0.0112
0.995	0.993
0.044	0.047
	RMSE

مدل هایگسون-کروول به عنوان بهترین و دقیق‌ترین مدل بهمنظر مدل‌سازی رهایش در هر دو محیط شبیه‌ساز غذای اسیدی و غذای چرب با ضریب تبیین بهتریت 0.993 و 0.995 انتخاب گردید. مدل هایگسون-کروول، رهایش را در سیستم‌هایی که در آن تغییر سطح و یا قطر ریزپوشش وجود دارد، توصیف می‌کند [۳۰]. از آنجایی که این مدل به عنوان بهترین مدل انتخاب شده است، در این صورت می‌توان تفسیر کرد که تغییر سطح

(فورانی) اولیه بیشتر به سبب انتشار اسانس درونپوشانی نشده از سطح ریزپوشش‌ها می‌باشد [۱۱]. زمان لازم برای رهایش حدود ۵۰ درصد اسانس بیدمشک از ریزپوشش در شرایط شبیه‌ساز غذای اسیدی و شبیه‌ساز غذای چرب به ترتیب برابر 40 و 27 ساعت بود؛ که نشان‌دهنده پایداری بیشتر ریزپوشش در شرایط اسیدی نسبت به شرایط خشی و قلیایی (شبیه‌ساز غذای چرب) است؛ مورفلوژی ریزپوشش تحت تاثیر محیط رهایش قرار دارد که این امر با تغییر خصوصیات ریزپوشش همراه است که در محیط خشی دارای ساختار متورم و با منافذ باز و در محیط اسیدی دارای ساختاری متراکم‌تر با منافذ بسته‌تر می‌باشد [۳۰]. این نتایج با نتایج حاصل از پتانسیل زتابی ریزپوشش‌ها و نیز آزمون تورم آن‌ها مطابقت دارد. همانطور که پیش‌تر نیز اشاره گردید، در شرایط pH خشی به سبب افزایش دافعه الکترواستاتیک و بازشدن بیشتر ساختار و منافذ ریزپوشش، رهایش اسانس با سرعت بالاتری رخ می‌دهد.

۳-۳- مدل‌سازی سینتیک رهایش اسانس

رهایش اسانس از پلیمر متورم پدیده‌ای پیچیده است که ممکن است شامل انتشار فیک، تخریب و فرسایش و یا ترکیبی از این سازوکارها باشد [۲]. معادلات ریاضی مختلفی وجود دارد که می‌تواند فرایند رهایش و انحلال اسانس بیدمشک را از ریزپوشش‌های آلزینات سدیم-پروتئین آب پنیر مدل‌سازی و پیش‌بینی نماید. بر اساس این مدل‌ها می‌توان سینتیک رهایش را درک نمود. مدل‌های ریاضی نقش مهمی در تفسیرساز و کار انتشار ماده فعال از ریزپوشش دارند [۳۰]. در این پژوهش مشخصات رهایش با برآذش داده‌های تجربی مدل‌های درجه صفر، درجه یک، کوپچا، کورسمیر-پیاس، هیگوچی، ویال و هایگسون-کروول برای رهایش در محیط‌های شبیه‌ساز غذای اسیدی و غذای چرب ارزیابی گردید. متغیرهای مدل به همراه معیارهای ارزیابی مدل (ضریب تبیین و ریشه میانگین مریعات خطأ) در جدول ۲ نشان داده شده است. بر اساس معیارهای ارزیابی، بهترین مدل، مدلی با بالاترین ضریب تبیین و کمترین ریشه میانگین مریعات خطأ می‌باشد. نتایج برآذش داده‌ها نشان داد که همه مدل‌ها به غیر از مدل درجه صفر می‌توانند فرایند رهایش اسانس را با دقت بالایی پیش‌بینی نماید (ضریب تبیین بالای 0.993 درصد). مدل درجه صفر در حقیقت برای سیستم‌های رهایشی است که در آن رهایش

همان‌طور که در مدل ویبال هم مشخص گردید، سازوکار رهایش اسانس بیدمشک از ریزپوشش در دو محیط شیوه‌ساز غذای اسیدی و شیوه‌ساز غذای چرب ترکیبی از انتشار فیک و انتشار پیچیده می‌باشد. نفوذ حلال و شلاته کردن کلسیم (پیوند عرضی) توسط یون‌های فسفات باعث حذف احتمالی کلسیم از ریزپوشش‌ها می‌گردد، که نتیجه این عمل درهم‌گسینخنگی و تورم شبکه ریزپوشش می‌باشد. تورم بیopolymer باعث افزایش تخلخل ریزپوشش و در نتیجه پدیده‌های رهایش از طریق نفوذ و فرسایش (انتشار پیچیده) می‌شود^[۳۵] و^[۲].

مدل هیگوچیکی از پرکاربردترین و شناخته‌شده‌ترین مدل‌های ریاضی است که برای سیستم‌هایی است که در آن سازوکار انتشار کنترل شده با انتشار است^[۳۰]. مدل سازی رهایش در محیط شیوه‌ساز غذایی اسیدی که با سرعت پایین‌تر رخ می‌دهد، با مدل هیگوچی دارای ضریب تبیین بالایی است (۰/۹۸۶)، در حالی که در محیط شیوه‌ساز غذایی چرب این ضریب تبیین مدل برای داده‌های تجربی پایین است (۰/۹۳۸). همان‌طور که پیش‌تر نیز اشاره شد، در محیط اسیدی بیشتر رهایش کنترل شده از طریق انتشار رخ می‌دهد و این در حالی است که بخشی از رهایش در شرایط خشی به سبب باز شدن ساختار ریزپوشش از طریق حفرات و با سازوکار انتشار پیچیده (نفوذ، تورم و فرسایش همزمان) رخ می‌دهد و به همین علت است که مدل هیگوچی در شرایط اسیدی برآش بهتری برای داده‌های تجربی دارد. داده‌های تجربی و مدل برای مدل‌های مختلف در محیط‌های شیوه‌ساز غذای اسیدی و غذای چرب به ترتیب در شکل‌های ۴ و ۵ نشان داده شده است.

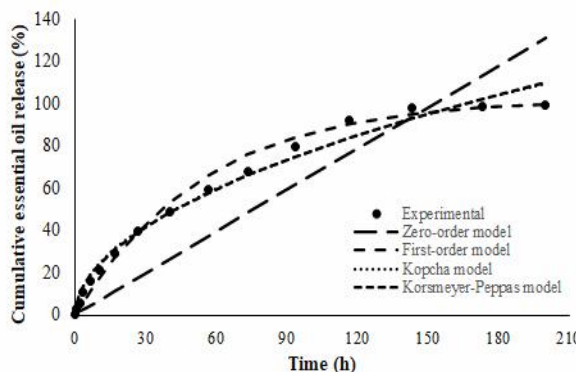
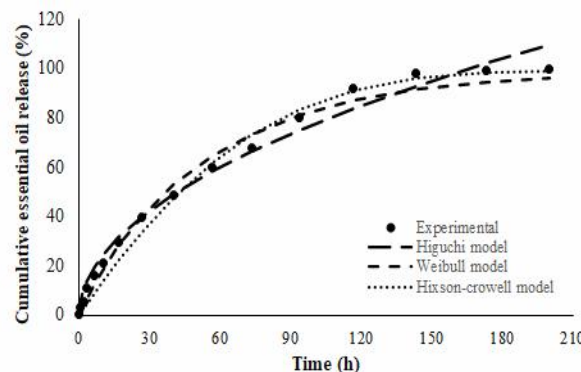


Fig 4 Release profile of musk willow essential oil sodium alginate-whey protein microcapsule in simulated acidic food condition fitted to zero-order, first-order, kopcha, higuchi, korsmeyer-peppas, hixon-crowell and weibull models.

(قطر) در طی فرآیندرهایش تأثیر مهمی در آزادسازی اسانس را دارد.

مدل ویبال هم نیز به مانند مدل هایگسون-کرول توانست سیستیک رهایش را در هر دو محیط رهایش با دقت بالای ۰/۹۹۱ مدل‌سازی نماید. مقدار β در مدل ویبال شکل منحنی رهایش یا انحلال را مشخص می‌نماید؛ اگر مقدار β برابر یک، بیشتر از یک و کمتر از یک باشد، شکل منحنی نیز به ترتیب به صورت نمایی، سیگموئیدیا^A شکل با انحنای رو به بالا و پس از آن یک نقطه چرخش و سهموی با شیب اولیه بالا و پس از آن به صورت نمایی می‌باشد^[۳۱]. اگر مقدار β کمتر از ۰/۷۵ و بیشتر از ۱ باشد، نشان‌دهنده این است که رهایش ماده فعال از ریزپوشش به ترتیب از طریق سازوکار انتشار فیکو انتشار پیچیده (نفوذ، تورم و فرسایش همزمان) هدایت می‌گردد. برای مقادیر β بین ۰/۷۵ تا ۱، رهایش ماده فعال با سازوکاری ترکیبی از انتشار فیک و انتشار پیچیده پیروی می‌نماید^[۳۲] و^[۳۳]. بر این اساس شکل منحنی رهایش اسانس بیدمشک از ریزپوشش آلزینات سدیم-پروتئین آب پنیر در هر دو محیط رهایش به صورت سهموی با شیب اولیه بالا و پس از آن به صورت نمایی است و سازوکار رهایش نیز ترکیبی از انتشار فیک و انتشار پیچیده می‌باشد.

مدل کورسمیر-پیاس نیز عملکرد قابل قبولی در مدل‌سازی سیستیک رهایش داشت. مقدار n یا نمارهایش کورسمیر-پیاس نیز سازوکار رهایش ماده فعال از ریزپوشش را نشان می‌دهد. رهایش زمانی که $n \leq 0/45$ و $n = 0/89$ و $n > 0/89$ به ترتیب از طریق انتشار فیک، انتشار پیچیده (نفوذ، تورم و فرسایش همزمان) و ترکیبی از انتشار فیک و انتشار پیچیده می‌باشد^[۳۴].



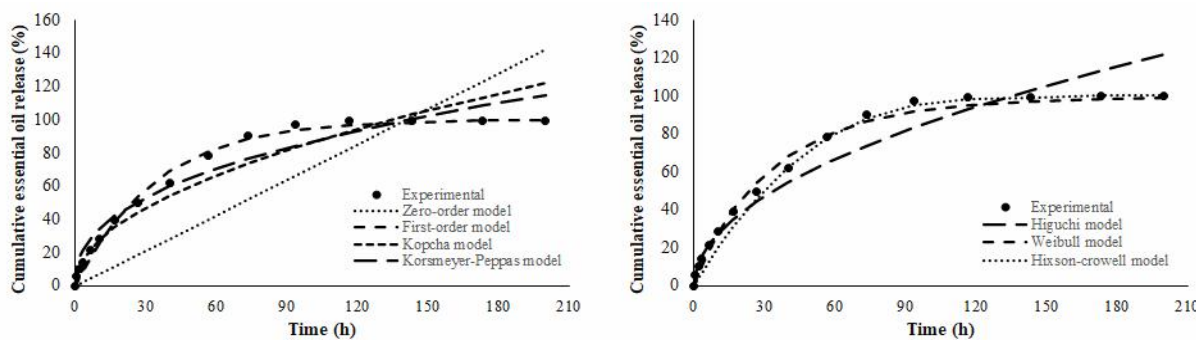


Fig 5 Release profile of musk willow essential oil sodium alginate -whey protein microcapsule in simulated fatty food condition fitted to zero-order, first-order, kopcha, higuchi, korsmeyer-peppas, hixon-crowell and weibull models.

رهایش در هر دو محیط رهایش به صورت سهمویو سازوکار رهایش نیز ترکیبی از انتشار فیک و انتشار پیچیده است.

۵- تقدیر و تشكیر

مقاله حاضر حاصل از بخشی طرح پژوهشی مصوب گروه علوم و مهندسی صنایع غذایی دانشگاه زنجان با عنوان "بهینه‌سازی استخراج اسانس بیدمشک با کمک تقطیر مقاومتی و فراصوت و درونپوشانی آن در ریزپوشش آلزینات-پروتئین آب پنیر" مورخ ۱۴۰۰/۰۲/۰۶ و جلسه شورای دانشکده مورخ ۱۴۰۰/۰۱/۳۰ می‌باشد. از دانشکده کشاورزی دانشگاه زنجان که با فراهم آوردن امکانات تحقیق ما را یاری کردند، سپاسگزاری می‌نمایم.

۶- منابع

- [1] Bastos LPH, Vicente J, dos Santos CHC, de Carvalho MG, Garcia-Rojas EE. Encapsulation of black pepper (*Piper nigrum* L.) essential oil with gelatin and sodium alginate by complex coacervation. *Food Hydrocolloids*. 2020;102:105605.
- [2] Faidi A, Lassoued MA, Becheikh MEH, Touati M, Stumbé J-F, Farhat F. Application of sodium alginate extracted from a Tunisian brown algae *Padina pavonica* for essential oil encapsulation: Microspheres preparation, characterization and in vitro release study. *International journal of biological macromolecules*. 2019;136:386-94.

۴- نتیجه‌گیری کلی

در پژوهش حاضر ریزپوشش‌های آلزینات سدیم-پروتئین آب پنیر حاوی اسانس بیدمشک با موفقیت با اندازه برابر $\pm 0.95 \text{ }\mu\text{m}$ میکرومترایجاد گردید و تشکیل آن توسط ریزتصویر میکروسکوپ الکترونی روبشی تائید گردید. راندمان درونپوشانی در این فرایند که بر اساس امولسیون‌سازی-ژلاسیون داخلی انجام شد، برابر $87/31$ درصد به دست آمد. نتایج پتانسیل زتا نشان داد که اگرچه ریزپوشش تولیدی در هر دو محیط اسیدی و خنثی پایدار می‌باشد؛ ولی قرارگیری این ریزپوشش در شرایط شبیه‌سازهای غذایی اسیدی و چرب به ترتیب باعث انقباض و انبساط ریزپوشش می‌گردد، که این امر در میزان رهایش موثر است و باعث می‌گردد که در شرایط شبیه‌ساز غذایی چرب که شرایط خنثی است به سبب تورم ریزپوشش رهایش با سرعت بیشتری رخ دهد. مدل‌های ریاضی ابزار مهمی برای درک سیستیک رهایش ماده فعال از ریزپوشش می‌باشند. نتایج برآش داده‌های تجربی با مدل‌های مختلف مشخص نمود که تنها مدل درجه صفر به سبب غیرخطی بودن رهایش اسانس بیدمشک از ریزپوشش نتوانست با دقت بالایی رهایش را مدل‌سازی نماید و سایر مدل‌ها عملکرد موفقی داشتند. مدل هایگسون-کروول دقیق‌ترین عملکرد را برای مدل‌سازی رهایش در هر دو محیط شبیه‌ساز غذای اسیدی و غذای چرب (با ضریب تبیین به ترتیب 0.993 و 0.995) نشان داد. که نشان از تغییر سطح یا قطر ریزپوشش در محیط رهایش است (تورم یا انقباض). نتایج حاصل از متغیرهای مدل‌های مختلف نشان داد که شکل منحنی

- Dajić Z, et al .Alginate/soy protein system for essential oil encapsulation with intestinal delivery. *Carbohydrate polymers.* 2018;200:15-24.
- [12] Wichchukit S, Oztop M, McCarthy M, McCarthy K. Whey protein/alginate beads as carriers of a bioactive component. *Food Hydrocolloids.* 2013;33(1):66-73.
- [13] Chen L, Subirade M. Alginate-whey protein granular microspheres as oral delivery vehicles for bioactive compounds. *Biomaterials.* 2006;27(26):4646-54.
- [14] Zandi M. Simulation of Ascorbic Acid Release from Alginate - Whey ProteinConcentrates Microspheres at the Simulated Gastrointestinal Condition Using Netlogo Platform. *Journal of Food Process Engineering.* 2017;40(1):e12327.
- [15] Asgarpanah J. Phytopharmacology and medicinal properties of *Salix aegyptiaca* L. *African Journal of Biotechnology.* 2012;11(28):7145-50.
- [16] Rabbani M, Vaseghi G, Sajjadi S, Amin B. Persian herbal medicines with anxiolytic properties. *Journal of Medicinal Plants.* 2011;3(39):7-11.
- [17] Sayyari Z, Farahmandfar R. Stabilization of sunflower oil with pussy willow (*Salix aegyptiaca*) extract and essential oil. *Food science & nutrition.* 2017;5(2):266-72.
- [18] Karimi I, Hayatgheibi H, Kamalak A, Pooyanmehr M, Marandi Y. Chemical composition and effect of an essential oil of *Salix aegyptiaca* L., Salicaceae,(musk willow) in hypercholesterolemic rabbit model. *Revista Brasileira de Farmacognosia.* 2011;21(3):407-14.
- [19] Crank J. The mathematics of diffusion: Oxford university press; 1979.
- [20] Wagner JG. Interpretation of percent dissolved-time plots derived from in vitro testing of conventional tablets and capsules. *Journal of pharmaceutical sciences.* 1969;58(10):1253-7.
- [21] Gibaldi M, Feldman S. Establishment of sink conditions in dissolution rate determinations. Theoretical considerations and application to nondisintegrating dosage forms. *Journal of pharmaceutical sciences.* 1967;56(10):1238-42.
- [3] Hernández-Nava R, López-Malo A, Palou E, Ramírez-Corona N, Jiménez-Munguía MT. Encapsulation of oregano essential oil (*Origanum vulgare*) by complex coacervation between gelatin and chia mucilage and its properties after spray drying. *Food Hydrocolloids.* 2020;109:106077.
- [4] Xue F, Gu Y, Wang Y, Li C, Adhikari B. Encapsulation of essential oil in emulsion based edible films prepared by soy protein isolate-gum acacia conjugates. *Food Hydrocolloids.* 2019;9:89-6;178.
- [5] Zandi M, Dardmeh N, Pirsa S, Almasi H. Identification of cardamom encapsulated alginate-whey protein concentrates microcapsule release kinetics and mechanism during storage, stew process and oral consumption. *Journal of Food Process Engineering.* 2017;40(1):e12314.
- [6] Dhadde Gurunath S, Mali Hanmant S, Raut Indrayani D, Nitalkar Manoj M, Bhutkar Mangesh A. A Review on Microspheres: Types, Method of Preparation, Characterization and Application. *Asian Journal of Pharmacy and Technology.* 2021;1.2;(2)1.
- [7] Zandi M. Vitamin protection by Alginate-Whey Protein Micro Gel (AL-WPC MG) as a novel microcapsule against gastrointestinal condition; case study: B-complex vitamins. *Iranian Journal Food Science and Technology Research.* 2020;16(3):37-50.
- [8] Zandi M, Mohebbi M, Varidi M, Ramezanian N. Evaluation of diacetyl encapsulated alginate-whey protein microspheres release kinetics and mechanism at simulated mouth conditions. *Food research international.* 2014;56:211-7.
- [9] Zandi M. Evaluation of the Kinetics of Ascorbic Acid (AA) Release from Alginate-Whey Protein Concentrates (AL-WPC) Microspheres at the Simulated Gastro-Intestinal Condition. *Journal of Food Process Engineering.* 2017;40(1):e12334.
- [10] Zandi M. The Mechanical, Rheological and Release Properties of Riboflavin and Biotin Encapsulated Alginate-whey Protein Micro-Gels. *Research and Innovation in Food Science and Technology.* 2019;8(3):285-96.
- [11] Volić M, Pajić-Lijaković I, Djordjević V, Knežević-Jugović Z, Pećinar I, Stevanović-

- oil powdered microcapsules obtained using milk whey proteins-alginate double layer emulsions. *Food Research International.* 2019;119:931-40.
- [30] Gouda R, Baishya H, Qing Z. Application of mathematical models in drug release kinetics of carbidopa and levodopa ER tablets. *J Dev Drugs.* 2017;6(02):1-8.
- [31] D'Souza SS, Faraj JA, DeLuca PP. A model-dependent approach to correlate accelerated with real-time release from biodegradable microspheres. *Aaps Pharmscitech.* 2005;6(4):E553-E64.
- [32] Papadopoulou V, Kosmidis K, Vlachou M, Macheras P. On the use of the Weibull function for the discernment of drug release mechanisms. *International journal of pharmaceutics.* 2006;309(1-2):44-50.
- [33] Carbinatto FM, de Castro AD, Evangelista RC, Cury BS. Insights into the swelling process and drug release mechanisms from cross-linked pectin/high amylose starch matrices. *asian journal of pharmaceutical sciences.* 2014;9(1):27-34.
- [34] Arora G, Malik K, Singh I. Formulation and evaluation of mucoadhesive matrix tablets of taro gum: optimization using response surface methodology. *Polimery w medycynie.* 2011;41(2):23-34.
- [35] Al-Tahami K .Preparation of Alginate Microspheres for the Delivery of Risperidone. *Yemeni Journal for Medical Sciences.* 2014;8:5.
- [22] Kopcha M, Lordi NG, Tojo KJ. Evaluation of release from selected thermosoftening vehicles. *Journal of pharmacy and pharmacology.* 1991;43(6):382-7.
- [23] Korsmeyer R, Peppas N .Macromolecular and modeling aspects of swelling-controlled systems. *Controlled release delivery systems.* 1983;1983(77-90):83.
- [24] Ritger PL, Peppas NA. A simple equation for description of solute release II. Fickian and anomalous release from swellable devices. *Journal of controlled release.* 1987;5(1):37-42.
- [25] Prata AS, Grossi CR. Influence of the oil phase on the microencapsulation by complex coacervation. *Journal of the American Oil Chemists' Society.* 2015;92(7):1063-72.
- [26] Tamjidi F, Nasirpour A ,Shahedi M. Mixture design approach for evaluation of fish oil microencapsulation in gelatin-acacia gum coacervates. *International Journal of Polymeric Materials and Polymeric Biomaterials.* 2013;62(8):444-9.
- [27] Peniche C, Howland I, Carrillo O, Zaldívar C ,Argüelles-Monal W. Formation and stability of shark liver oil loaded chitosan/calcium alginate capsules. *Food Hydrocolloids.* 2004;18(5):865-71.
- [28] Bannikova A, Evteev A, Pankin K, Evdokimov I, Kasapis S. Microencapsulation of fish oil with alginate: In-vitro evaluation and controlled release. *LWT.* 2018;90:310-5.
- [29] Fioramonti SA, Stepanic EM, Tibaldo AM, Pavón YL, Santiago LG. Spray dried flaxseed

Iranian Journal of Food Science and Technology

Homepage:www.fsct.modares.ir



Scientific Research

Encapsulation of musk willow (*Salix aegyptiaca L.*) essential oil with sodium alginate and whey protein: Characterization, controlled release and mathematical modeling

Zandi, M. ^{1*}, Ganjloo, A. ², Bimakr, M. ²

1. Assistant Professor, Department of Food Science and Engineering, Faculty of Agriculture, University of Zanjan, Zanjan, Iran.
2. Associate Professor, Department of Food Science and Engineering, Faculty of Agriculture, University of Zanjan, Zanjan, Iran.

ABSTRACT

ARTICLE INFO

The musk willow essential oil is volatile and encapsulation can protect them from environmental factors such as, light, oxygen and temperature. In the present research, preparation of sodium alginate-whey protein microcapsule containing essential oil of musk willow was carried out by internal gelation-emulsification method with encapsulation efficiency of 87.31%. The obtained microcapsules were characterized by particle size analyzer, zeta potential analyzer and scanning electron microscope. Encapsulation efficiency, swelling ratio and *in vitro* release of the essential oil was also investigated in fatty and acidic food simulation conditions. At acidic and fatty food simulation conditions, the complex presented negatively charged, with potential zeta values being 42.25 and 38.11 mV, respectively. The greatest electrostatic interaction occurred near pH 3.0 where the charge approached neutrality, which represents a balance between the biopolymer charges. Microcapsules shrinking in the acidic food simulation (pH=3.0) and expanding in the fatty food simulation (pH=7.0). The release results indicated that the release of musk willow essential oil from the microcapsule in both conditions occurred with a controlled manner and exhibited a slow rate. The essential oil release was found to be best fitted by Hixson-Crowell model ($R^2=0.993$ for the acidic food simulation condition and $R^2=0.995$ for fatty food simulation condition) which implies that a change in diameter of the microcapsule as a function of time. Mathematical modeling of release kinetics shows that musk willow essential oil loaded microsphere release follows by classical Fickian diffusion and erosion/degradation mechanisms.

Article History:

Received 2021/ 08/ 20

Accepted 2021/ 09/ 28

Keywords:

Microcapsule,
Musk willow essential oil,
Sodium alginate,
Control release,
Kinetic models.

DOI: 10.22034/FSCT.19.125.121

DOR: 20.1001.1.20088787.1401.19.125.6.5

*Corresponding Author E-Mail:
Zandi@znu.ac.ir